

DOI: 10.11992/tis.201708015
网络出版地址: <http://kns.cnki.net/kcms/detail/23.1538.TP.20180420.1125.008.html>

基于正交 Log-Gabor 滤波二值模式的人脸识别算法

杨恢先, 付宇, 曾金芳, 徐唱

(湘潭大学 物理与光电工程学院, 湖南 湘潭 411105)

摘要:为消除可变光照对人脸识别的影响, 提出一种基于正交 Log-Gabor 滤波二值模式(OLGBP)的人脸识别算法。该算法对样本在正交方向做 Log-Gabor 变换, 然后将所得特征图像进行虚实分解和同尺度多方向二值融合构成 OLGBP 特征向量, 再将这些特征向量构成协同表征字典 D 。最后, 在字典 D 下对测试样本采用协同表征求稀疏系数, 并通过误差重构来分类。在 AR、Extend Yale B 和 CAS-PEAL-R1 人脸数据库上的实验结果表明, OLGBP 算法对光照变化的单样本人脸识别具有较好的效果, 从而验证了算法的有效性。

关键词:人脸识别; Log-Gabor 滤波器; 协同表征; 正交; 稀疏编码; 二值模式; 单样本; 多尺度

中图分类号: TP391.4 文献标志码: A 文章编号: 1673-4785(2019)02-0330-08

中文引用格式: 杨恢先, 付宇, 曾金芳, 等. 基于正交 Log-Gabor 滤波二值模式的人脸识别算法[J]. 智能系统学报, 2019, 14(2): 330–337.

英文引用格式: YANG Huixian, FU Yu, ZENG Jinfang, et al. Face recognition based on orthogonal Log-Gabor binary pattern[J]. CAAI transactions on intelligent systems, 2019, 14(2): 330–337.

Face recognition based on orthogonal Log-Gabor binary pattern

YANG Huixian, FU Yu, ZENG Jinfang, XU Chang

(School of Physics and Optoelectronic, Xiangtan University, Xiangtan 411105, China)

Abstract: To eliminate the effect of varying illumination on face recognition, a novel method of face recognition based on orthogonal log-Gabor binary pattern (OLGBP) is proposed in this paper. First, the algorithm performs log-Gabor transform on the samples in the orthogonal direction. Then the log-Gabor feature image is decomposed into real and imaginary parts, and the OLGBP feature vectors are constructed by fusing them into a binary pattern in the same scale at different directions. These feature vectors then form a collaboratively representative dictionary D . Finally, sparse coefficients are obtained by collaboratively representing these feature vectors with the test samples based on the dictionary D , and the test samples are classified by reconstruction of errors. The results for experiments performed on AR, Extend Yale B, and CAS-PEAL-R1 face databases show that the OLGBP algorithm has good effect on a single sample with illumination variation, and the effectiveness of the algorithm is verified.

Keywords: face recognition; Log-Gabor filter; collaborative representation; orthogonality; sparse coding; binary pattern; single sample; multi scale

人脸识别因其友好性、无侵害、易获取等特点, 成为图像处理和计算机视觉中受关注的领域之一。提取区分性好、鲁棒性好的人脸特征, 构建高效可靠的分类器, 来提升人脸识别的正确率, 一直是人脸识别研究的难点与重点^[1]。

收稿日期: 2017-08-17. 网络出版日期: 2018-04-20.
基金项目: 湘潭大学博士启动基金项目(KZ07089); 湘潭大学校
级科研项目(16XZX02).

通信作者: 付宇. E-mail: 292682322@qq.com.

经典的人脸识别算法有 Eigenface^[2]、Fisher-face^[3]、拉普拉斯脸^[4]等。2009 年, John Wright 等提出一种基于稀疏表示分类(sparse representation based classification, SRC)人脸识别算法。SRC 算法首先在训练图像上对未知图像做编码处理, 然后通过计算最小编码误差来估计未知图像属于哪一类, 从而达到分类目的。SRC 的快捷与高效性, 使得它广泛用于人脸识别领域。SRC 过度强

调 L_1 范数的作用, 忽略了用所有类别信息表示测试样本的协同作用。因此, Zhang 等^[6]提出协同表征 (collaborative representation, CR) 是稀疏分类的关键和本质, 而非强稀疏性, CR 便在模式识别中被广泛采用。如 Zhao^[7]、Liu^[8]提出核协同用于人脸识别和图像分类等。SRC 与 CR 采用固定字典分类可能缺乏足够的区分信息, 因此研究者们对带稀疏约束的字典学习算法展开了研究, 并取得较好的效果。如 Yang 等^[9]提出 Fisher 区分字典学习算法 (fisher discrimination dictionary learning, FDDL), Chen 等^[10]提出稀疏嵌入字典学习算法 (sparse embedded dictionary learning, SEDL) 等。最近, 基于深度学习的卷积神经网络在人脸识别也取得理想的效果。如 Sun 等^[11]提出 DeepID 算法、Yi 等^[12]提出的 WebFace 算法等。上述算法在人脸识别虽然取得明显效果, 但它们都采用多样本做训练, 与实际应用情况不符合, 因此用于单样本人脸识别效果将下降。

与字典学习、深度学习相比, SRC 与 CR 算法使用训练样本少, 计算复杂度更低。虽然 SRC 和 CR 算法对受污染的待测样本有较好的识别能力, 但训练样本不受污染是前提。可变光照会改变人脸图像的灰度分布, 而传统的主成分分析^[13] (principal component analysis, PCA) 等算法不能很好地提取光照不变量, 因此 Gabor 小波被广泛用于人脸光照不变特征提取。如文献[14]提出基于 Gabor 滤波的二值模式方法 (histogram sequence of local Gabor binary patterns, HSLGBP); 文献[15]提出基于 Gabor 小波低秩恢复稀疏表示分类法。由于 Gabor 变换存在直流分量和带宽受限, 从而 Log-Gabor^[16]变换被提出, 刘元等^[17]将其用于人脸识别。Log-Gabor 仍然存在维数高、耗时长的缺点。为降低特征维数, 文献[18]提出正交梯度相位脸 (orthogonal gradient phase face, OGPF), 文献[19]提出正交梯度二值模式 (orthogonal gradient binary pattern, OGBP)。文献[20]在文献[18-19]的基础上改进, 提出中心对称梯度幅值相位模式 (center-symmetric gradient magnitude and phase patterns, CSGMP), 并取得较好的效果。

受文献[6, 19]的启发, 本文提出一种基于正交 Log-Gabor 滤波二值模式 (orthogonal Log-Gabor binary pattern, OLGBP) 的人脸识别算法。采用正交 Log-Gabor 滤波器组提取人脸特征并做特征融合得到 OLGBP 特征, 将这些特征组合成字典, 最后采用协同表征分类。

1 相关工作

1.1 协同表征

假定有 k 类训练样本, 每个人脸样本可表示为列向量 \mathbf{v} 。则第 i 类训练样本可以表示为

$$\mathbf{D} = [v_{i,1} \quad v_{i,2} \quad \cdots \quad v_{i,n}] \in \mathbb{R}^{m \times n}$$

其中 $v_{i,j}$ 表示第 i 类中的第 j 个人脸列向量, n_i 表示第 i 类训练样本的总个数, m 表示训练样本的维数, n 表示样本总数, $n = n_1 + n_2 + \dots + n_m$ 。用这些训练样本的线性组合构成字典 $\mathbf{D} \in \mathbb{R}$, 则测试样本 \mathbf{y} 的协同表征系数 $\hat{\mathbf{a}}$ 可通过式(1)求得:

$$\hat{\mathbf{a}} = \arg \min_a \{ \| \mathbf{y} - \mathbf{D}\mathbf{a} \|^2_2 - \lambda \|\mathbf{a}\|_2^2 \} \quad (1)$$

则系数 $\hat{\mathbf{a}}$ 为最小二乘解:

$$\hat{\mathbf{a}} = (\mathbf{D}^T \mathbf{D} + \lambda \cdot \mathbf{I})^{-1} \mathbf{D}^T \mathbf{y} \quad (2)$$

然后进行最小误差重构, 误差最小项为测试样本所对应的项。重构公式为

$$\text{identity}(\mathbf{y}) = \arg \min_i \left\{ \frac{\| \mathbf{y} - \mathbf{D}_i \hat{\mathbf{a}}_i \|_2}{\| \hat{\mathbf{a}}_i \|_2} \right\} \quad (3)$$

1.2 正交 Log-Gabor 滤波器组

1.2.1 Log-Gabor 滤波器

Gabor 滤波器良好的空间局部性和方向选择性, 被用于提取人脸多个方向的结构特征和空间频率, 同时对光照和光照变化具有良好的鲁棒性。但 Gabor 滤波器存在两点不足: 1) 有直流分量, 2) 带宽受限。因此, Field 提出 Log-Gabor 滤波器^[12]。Log-Gabor 滤波器带宽与人类视觉通道的带宽更接近, 更适合对图像编码。二维 Log-Gabor 在频域上定义为

$$LG(u, v) = \exp \left(- \frac{\left(\log \left(\frac{u_1}{u_2} \right) \right)^2}{2 \left(\log \left(\frac{k}{u_0} \right) \right)^2} \right) \cdot \exp \left(- \frac{v_1^2}{(2\sigma_v)^2} \right) \quad (4)$$

其中:

$$\begin{cases} u_1 = u \cos \theta + v \sin \theta \\ v_1 = -u \sin \theta + v \cos \theta \end{cases} \quad (5)$$

式中: u_0 代表滤波器的中心频率; k 控制滤波器在 u_1 方向的带宽; σ_v 控制滤波器在 v_1 方向的带宽; θ 代表滤波器的方向角度。

一幅图像的 Log-Gabor 特征就是该幅图像与 Log-Gabor 函数做卷积的结果。假定图像为 $I(x, y)$, 则 Log-Gabor 的特征为

$$\varphi_{u,v}(x, y) = I(x, y) \otimes LG_{u,v}(x, y) \quad (6)$$

式中: \otimes 代表卷积; $\varphi_{u,v}(x, y)$ 代表 Log-Gabor 特征; $LG_{u,v}(x, y)$ 代表尺度为 u 、方向为 v 的 Log-Gabor 滤波器。

1.2.2 正交 Log-Gabor 滤波器组

Log-Gabor 滤波器组所提取的特征维数过高,从而导致计算机内存占有率高,算法识别耗时长,效率低下。受文献[19]的启发,提出正交 Log-Gabor 滤波器组。

正交 Log-Gabor 滤波器组是从 Log-Gabor 滤波器组中抽取正交方向的 Log-Gabor 特征。为了防止丢失有用的特征,因此在不同尺度上采取交叉选取正交方向。假定滤波器组选取 5 个尺度,8 个方向。则全局 Log-Gabor 滤波器组的幅值特征如图 1 所示,正交 Log-Gabor 滤波器组的幅值特征如图 2 所示。

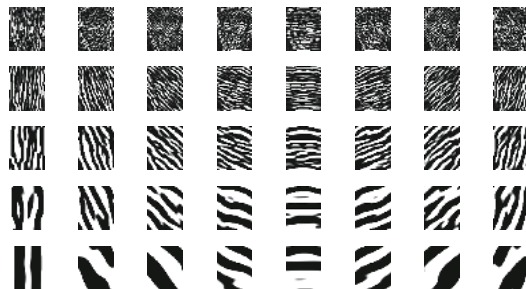


图 1 全局特征
Fig. 1 Global feature

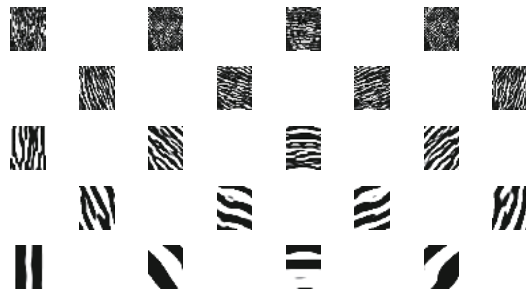


图 2 正交特征
Fig. 2 Orthogonal feature

由图 2 可以看出,正交 Log-Gabor 滤波器组所提取的特征将是全局 Log-Gabor 滤波器组所提特征的一半。因此,所提特征维数是全局特征维数的一半,从而可实现特征降维。又由于正交特征的方向是正交的,因此所提特征在一定程度上减少了冗余。由上述分析可知,算法的计算开销将减少,相比同类算法识别速度有一定的提升。

2 OLGBP

2.1 人脸的 OLGBP 特征

OLGBP 特征提取过程:

1) 将样本分别与正交 Log-Gabor 滤波器组卷积,得到 LG 特征。

2) 首先对 LG 做虚、实分解,得到 LG_R 和 LG_I 。然后将 LG_R 和 LG_I 二值化,并进行同尺度不同方向的特征融合。最后,将融合特征转十进

制。二值化模式定义为

$$P_{u,v}^{\text{Re}}(z) = \begin{cases} 1, & \text{Re}(LG_{u,v}(z)) > 0 \\ 0, & \text{Re}(LG_{u,v}(z)) \leq 0 \end{cases} \quad (7)$$

$$P_{u,v}^{\text{Im}}(z) = \begin{cases} 1, & \text{Im}(LG_{u,v}(z)) > 0 \\ 0, & \text{Im}(LG_{u,v}(z)) \leq 0 \end{cases} \quad (8)$$

式中: $\text{Re}(LG_{u,v}(z))$ 代表 Log-Gabor 特征的实部, $\text{Im}(LG_{u,v}(z))$ 代表 Log-Gabor 特征的虚部。

十进制编码模式定义为

$$T_u^{\text{Re}}(z) = \sum_{v=0}^{n-1} P_{u,v}^{\text{Re}}(z) \times 2^v \quad (9)$$

$$T_u^{\text{Im}}(z) = \sum_{v=0}^{n-1} P_{u,v}^{\text{Im}}(z) \times 2^v \quad (10)$$

其中, n 为方向的个数, $[T_u^{\text{Re}}(z), T_u^{\text{Im}}(z)]$ 为 OLGBP 特征。

2.2 人脸特征匹配

该算法通过协作表征分类,因此将提取的 OLGBP 特征组合成稀疏字典 D 进行稀疏编码,选取式(3)的最小值所在类作为测试样本的类别。人脸识别流程如图 3 所示。

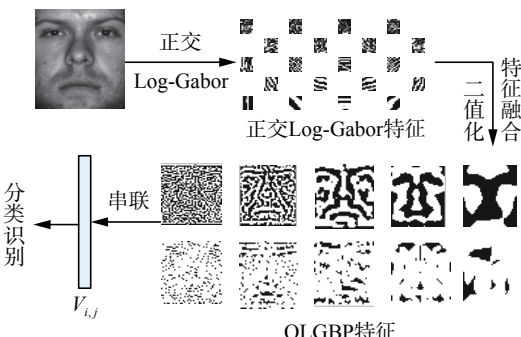


图 3 人脸识别流程图
Fig. 3 Face recognition flow chart

3 正交 Log-Gabor 滤波二值模式

为验证 OLGBP 算法的有效性,算法在 AR 人脸库、Extend Yale B 人脸库和 CAS-PEAL-R1 人脸库分别进行仿真实验。实验环境为 MATLAB R2013a,计算机硬件配置为 Windows7 32 位系统,Intel(R) Pentium(R) B940 2.0 GHz, 2 GB 运行内存。

AR 人脸库包含了 126 人的 4 000 多幅人脸图像,涵盖表情、光照和遮挡 3 种变化,原图像的尺寸为 120×165 。随机从库中选取 50 名男性和 50 名女性,每人 4 幅光照变化的图像进行实验。实验中,选择 AR 人脸库每个人的第 1 幅图像作为训练样本,剩余 3 幅做测试样本,图像尺寸为 83×60 ,部分图像如图 4 所示。

Extend Yale B 人脸库包含了 38 人正面姿态下的 2 432 幅图像,涵盖 64 种不同光照,原图像

的尺寸为 168×192 。根据光照入射角度分为 5 个子集: 子集 1 的入射角度为 $0^\circ \sim 12^\circ$ (每人 7 幅); 子集 2 的入射角度为 $13^\circ \sim 25^\circ$ (每人 12 幅); 子集 3 的入射角度为 $26^\circ \sim 50^\circ$ (每人 12 幅); 子集 4 的入射角度为 $51^\circ \sim 77^\circ$ (每人 14 幅); 子集 5 的入射角度大于 77° (每人 19 幅)。实验中, 选择子集 1 每个人的第 1 幅图像作为训练样本, 其他子集做测试样本, 图像尺寸为 96×84 , 部分图像如图 5 所示。

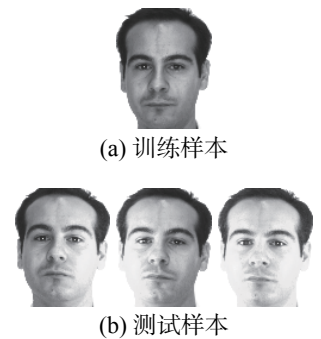


图 4 AR 人脸库部分图像

Fig. 4 Example images in AR database

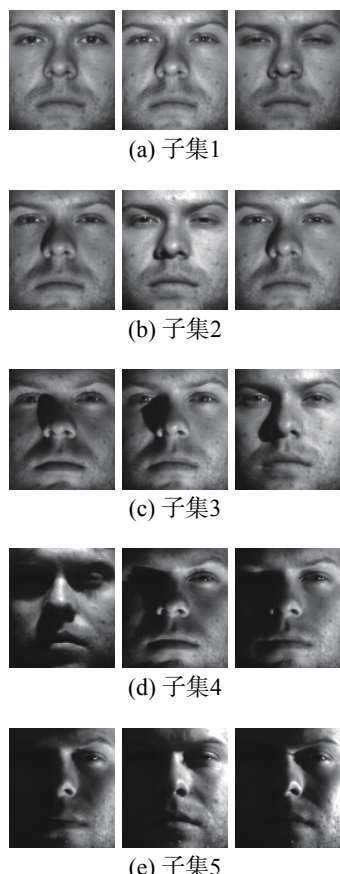


图 5 Extend Yale B 人脸库部分图像

Fig. 5 Example images in Extend Yale B database

CAS-PEAL-R1 人脸库包含正面图像库和姿态图像库, 由 1 040 名中国人的 99 450 幅人脸图

像组成, 原图像的尺寸为 100×100 。实验中, 采用正面图像库的光照变化图像做实验, 随机选取其中 199 人(每人 9 幅), 每人的第 i ($i=1, 2, 3, 4, 5$) 幅作为训练样本, 其余为测试样本, 图像尺寸为 83×60 , 部分图像如图 6 所示。



图 6 CAS-PEAL-R1 人脸库部分图像

Fig. 6 Example images in CAS-PEAL-R1 database

3.1 参数对识别率的影响

1) 滤波器尺度 s 与方向 θ 对识别率的影响

多数情况下, 在使用 Gabor 滤波器时均采用 5 个尺度、8 个方向, 为验证滤波器尺度 s 与方向 θ 分别对算法识别率的影响, OLGBP 算法将在 AR 人脸库和 CAS-PEAL-R1 人脸库上进行实验。特征维数设定为 90, 实验结果如图 7、8 所示。

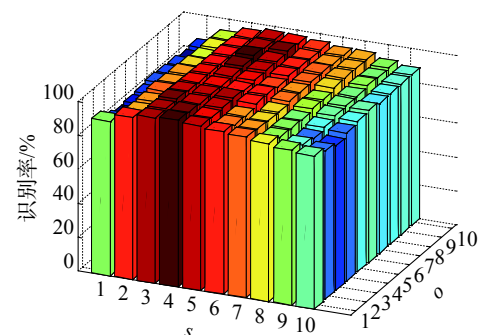
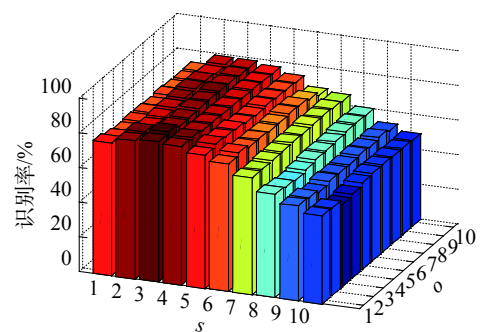
图 7 s, θ 在 AR 的实验结果Fig. 7 s and θ 's result in AR

图 8 s, o 在 CAS-PEAL-R1 的实验结果
Fig. 8 s and o 's result in CAS-PEAL-R1

图 7 和图 8 中横坐标分别代表滤波器的尺度个数 s 、方向个数 o 。纵轴代表滤波器的识别率。从图 7 和图 8 可以看出, 当取小尺度数和较少的方向数时, 所提取到的人脸信息少, 导致识别率较低。当取大尺度数和较大的方向数时, 所提取的人脸信息过多造成冗余, 导致有用信息丢失, 识别率下降。因此, 在保证识别率的前提下, 算法的计算开销尽可能小, 则 Log-Gabor 滤波器组的尺度数选 3、方向数选 2 都有较好的识别率。

2) 正交特征和全局特征对识别率的影响

为验证正交特征和全局特征对识别率的影响, OLGBP 算法和 LGBP 算法将在 AR 人脸库、CAS-PEAL-R1 人脸库和 Extend Yale B 人脸库的 S_4 上进行实验。Log-Gabor 滤波器和正交 Log-Gabor 滤波器均设定为 3 个尺度 2 个方向, 特征维数设定为 90 维, 实验结果如表 1 所示。

表 1 算法识别结果

Table 1 Algorithm's results %

人脸库	LGBP	OLGBP
AR	98.33	98.00
CAS-PEAL-R1	82.22	81.53
S_4	82.86	84.29

从表 1 可以看出, 在维数降至 90 的前提下, AR 库上 LGBP 的识别率比 OLGBP 高 0.33%, CAS-PEAL-R1 库上 LGBP 的识别率比 OLGBP 高 0.69%, Extend Yale B 的 S_4 上 LGBP 的识别率比 OLGBP 低 1.43%。由此可知, 除 S_4 外 OLGBP 算法的识别率比 LGBP 算法的识别率稍低, 但总体上相差不大。但 LGBP 算法产生了 12 幅 LG 特征图像, OLGBP 算法只产生了 6 幅 LG 特征图像, 因此 OLGBP 特征维数是 LGBP 特征维数的 1/2。说明取正交方向的 LG 特征, 在一定程度上可减少特征冗余, 实现特征降维, 提高算法的效率。

3) 编码系数比较

为验证 OLGBP 编码系数的有效性, OLGBP 算法将与 SRC、CRC 算法作对比。对比实验将在 AR 人脸库进行, 以 AR 库第一幅人脸图像为例。

从图 9 可以看出, 相同样本各算法的编码系数各不相同。SRC 与 CRC 编码系数相似, 它们将第一类样本归于其他类, 而 OLGBP 算法实现准

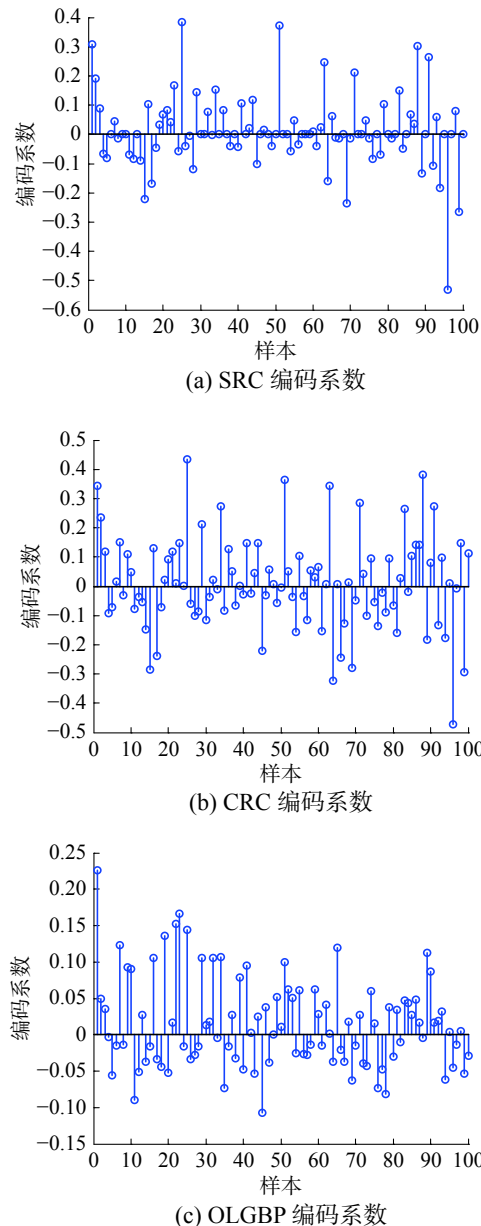


图 9 各算法编码系数对比
Fig. 9 The coding coefficients of algorithms

确分类。由此可以说明, OLGBP 算法相对 SRC 和 CRC 算法提取的特征更具有区分性。

3.2 不同算法的识别性能对比

为验证 OLGBP 算法的有效性, 分别与 SRC 算法^[5]、CRC_RLS 算法^[6]、OGPF 算法^[12]、OGBP 算法^[13]、CSGMP 算法^[14]进行对比。SRC 算法参数 $\lambda=0.01$ 。CRC_RLS 算法中参数 $\lambda=0.001$ 。在 OGPF 算法中, 方向数为 5, 高斯标准差 $\sigma=0.9$ 。在 OGBP 算法中, 方向数为 8, 高斯标准差 $\sigma=1$ 。在 CSGMP 算法中, CSLDP 尺寸为 3×3 , 高斯标准差 $\sigma=0.6$ 。OLGBP 算法中, CRC_RLS 的参数 $\lambda=0.001$, Log-Gabor 的尺度 $s=3$ 、方向 $o=2$, 最小波长为 3, 缩放因子为 2。实验中 OLGBP、SRC 和 CRC_RLS

算法的 AR 库和 CAS-PEAL-R1 库人脸尺寸为 83×60 , Extend Yale B 库的人脸尺寸为 96×84 。其余算法的人脸尺寸都为 100×100 。所有实验进行 20 次, 并对结果取平均值。

从表 2 可以看出, OGPF、OGBP、CSG-MP 和 OLGBP 各算法都取得了良好的识别率。SRC 和 CRC_RLS 算法只考虑了稀疏表示, 并没有对图像提取更加显著的特征; OGPF 算法提取人脸 5 个方向的梯度相位特征, 使用于分类的信息更加丰富; OGBP 算法是 OGPF 算法的改进, 它将梯度相位进行 8 个方向的量化并赋予不同的权值; CSGMP 算法利用了梯度幅值和梯度相位的互补性, 提取了人脸不变特征。OLGBP 算法采用正交 Log-Gabor 滤波器组提取多尺度下的特征图, 并通过对虚部和实部二值编码充分挖掘了人脸信息, 取得了良好的识别率。

表 2 AR 人脸库上识别结果

Table 2 Face recognition results in AR %

算法	识别率
SRC	88.00
CRC_RLS	86.00
OGPF	96.67
OGBP	98.33
CSGMP	98.33
OLGBP	98.00

从表 3 可以看出: CRC_RLS 算法虽然在第 1、2、4 幅图有很好的效果, 但第 4、5 幅图的识别率低, 导致算法识别率不稳定, 可靠性降低。OLGBP 算法通过提取多尺度、多方向特征对单样本进行了细节的扩充, 再通过虚实分解和编码使得人脸结果信息更丰富, 相比其他算法识别率得到提升且稳定性较好。

表 3 CAS-PEA-R1 人脸库上识别结果

Table 3 Face recognition results in CAS-PEA-R1 %

算法	训练样本号 i				
	1	2	3	4	5
SRC	77.39	77.39	32.63	76.88	57.79
CRC_RLS	90.45	92.46	53.27	90.45	53.27
OGPF	70.10	65.64	47.55	68.26	69.41
OGBP	77.32	72.30	52.89	72.17	74.75

CSGMP	78.59	74.16	57.68	74.55	76.35
OLGBP	84.23	78.77	67.34	78.64	85.68

表 4 的复杂光照的实验结果可以看出子集 2 中人脸光照条件良好, 算法识别率都很高; 子集 3~5 中人脸光照条件越来越差, 没有进行特征提取的 SRC、CRC_RLS 算法和只进行局部特征提取的 CSGMP 算法识别率下降最快; OGPF 和 OGBP 利用梯度信息, 识别率下降慢; OLGBP 通过提取多尺度正交方向信息, 对虚部和实部分别编码提高了抗干扰的能力, 在剧烈的光照下也有较高的识别率。

表 4 Extend Yale B 人脸库上识别结果

Table 4 Face recognition results in Extend Yale B %

算法	子集			
	S_2	S_3	S_4	S_5
SRC	90.00	30.00	30.00	10.00
CRC_RLS	100.00	80.00	50.00	10.00
OGPF	100.00	87.29	58.13	40.05
OGBP	100.00	89.55	61.09	41.35
CSGMP	100.00	90.76	39.47	33.24
OLGBP	100.00	100.00	84.29	82.63

3.3 特征维数与时间复杂度分析

为对比算法的复杂程度, 在 AR 库的光照集进行试验。以 AR 库每人的第一张人脸作为训练样本, 光照变换人脸作为测试样本, 测试算法识别一张人脸所花的时间为

$$t = T_1 + T_2 \quad (11)$$

式中: T_1 表示提取一幅人脸特征消耗的平均时间, T_2 表示一张测试样本与多张训练样本匹配消耗的平均时间。各算法在 AR 光照集的特征维数与耗时结果如表 5 所示。

表 5 不同算法在光照集的特征维数与耗时

Table 5 Different algorithm's dimension and time in different illumination set ms

算法	维数	T_1	T_2
SRC	1 230	0	235
CRC_RLS	1 230	0	5.49
OGPF	50 000	78.74	74.25
OGBP	80 000	139.48	74.19
CSGMP	16 384	45.56	34.03
OLGBP	7 380	12.96	9.89

从表 5 可以看出: OLGBP 算法比 OGPF、OG-BP 和 CSGMP 的特征维数都要小, 且 OLGBP 的每一项平均耗时都低于上述 3 种算法, 其原因在于 OGPF 采样了 5 个方向的特征, OGBP 采样了 8 个方向的特征, CSGMP 采用 CSLDP 算子维数相对较小但特征提取时间太长, 而 OLGBP 只采样 2 个方向的特征。SRC 算法和 CRC_RLS 算法没有提取特征, 因此特征提取耗时项为 0。由于 SRC 采取 l_1 来求解稀疏系数, 因此特征匹配耗时远远高于其他算法。OLGBP 是 CRC_RLS 的改进, 因此增加了特征提取、特征匹配的耗时。结合表 2~5 来看, OLGBP 算法不仅识别率高, 而且算法的时间开销少, 可以满足时性的要求。

4 结束语

正交 Log-Gabor 滤波二值模式算法首先采用 Log-Gabor 滤波组提取多尺度正交方向的 LG 特征, 然后对 LG 特征进行虚实分解并编码、融合, 最后将 OLGBP 特征组合成稀疏字典采用协作表示进行分类。实验结果表明: 正交方向的 LG 特征可以减少特征的冗余, 降低特征维数。对 LG 的虚实分解, 可以充分提取人脸所隐藏的信息。对多尺度多方向 LG 特征的融合即可以增强特征的判断能力, 也可以进一步实现降维。

采用正交 Log-Gabor 滤波器组所提特征数是全局 Log-Gabor 滤波器组所提特征数的一半。因此, 所提特征维数是原来特征维数的一半, 从而可实现特征降维。又由于 OLGBP 特征的方向是正交的, 因此所提特征在一定程度上减少了冗余, 识别率基本保持不变。由上述分析可知算法的计算开销可减少, 相比同类算法识别速度得到提升。在 AR、Extend Yale B 和 CAS-PEAL-R1 人脸库的实验结果表明: OLGBP 算法不仅对光照变化的人脸有较高的识别率, 而且还降低了识别时间, 因此说明了该算法对光照的有效性。未来的工作将进一步对特征提取做研究分析, 通过改进特征提取算法, 使得特征维数和识别时间降低并提高算法的识别率。

参考文献:

- [1] ADINI Y, MOSES Y, ULLMAN S. Face recognition: the problem of compensating for changes in illumination direction[J]. *IEEE transactions on pattern analysis and machine intelligence*, 1997, 19(7): 721–732.
- [2] TURK M, PENTLAND A. Eigenface for recognition[J]. *Journal of cognitive neuroscience*, 1991, 3(1): 71–86.
- [3] BELHUMEUR P N, HESPAÑA J P, KRIEGMAN D J. Eigenfaces vs. fisherfaces: recognition using class specific linear projection[J]. *IEEE transactions on pattern analysis and machine intelligence*, 1997, 19(7): 711–720.
- [4] HE Xiaofei, YAN Shuicheng, HU Yuxiao, et al. Face recognition using laplacianfaces[J]. *IEEE transactions on pattern analysis and machine intelligence*, 2005, 27(3): 328–340.
- [5] WRIGHT J, YANG A Y, GANESH A, et al. Robust face recognition via sparse representation[J]. *IEEE transactions on pattern analysis and machine intelligence*, 2009, 31(2): 210–227.
- [6] ZHANG Lei, YANG Meng, FENG Xiangchu. Sparse representation or collaborative representation: Which helps face recognition? [C]//Proceedings of 2011 IEEE International Conference on Computer Vision. Barcelona, Spain, 2011: 471–478.
- [7] ZHAO Jia, WANG Yanjiang, LIU Baodi. Kernel collaborative representation for face recognition[C]//Proceedings of the 12th International Conference on Signal Processing. Hangzhou, China, 2014: 1423–1427.
- [8] LIU Weiyang, LU Lijia, LI Hui, et al. A novel kernel collaborative representation approach for image classification[C]// Proceedings of 2014 IEEE International Conference on Image Processing. Paris, France, 2014: 4241–4245.
- [9] YANG Meng, ZHANG Lei, FENG Xiangchu, et al. Fisher discrimination dictionary learning for sparse representation[C]//Proceedings of 2011 International Conference on Computer Vision. Barcelona, Spain, 2011: 543–550.
- [10] CHEN Yefei, SU Jianbo. Sparse embedded dictionary learning on face recognition[J]. *Pattern recognition*, 2017, 64: 51–59.
- [11] SUN Yi, WANG Xiaogang, TANG Xiaoou. Deep learning face representation from predicting 10,000 classes[C]// Proceedings of 2014 IEEE Conference on Computer Vision and Pattern Recognition. Columbus, OH, USA, 2014: 1891–1898.
- [12] YI Dong, LEI Zhen, LIAO Shengcai, et al. Learning face representation from scratch[J]. Computer science, arXiv: 1411.7923, 2014.
- [13] CANDÈS E J, LI Xiaodong, MA Yi, et al. Robust principal component analysis? [J]. *Journal of the ACM*, 2011, 58(3): 11.
- [14] ZHANG Wenchao, SHAN Shiguang, GAO Wen, et al. Local Gabor binary pattern histogram sequence (LGBPHS): a novel non-statistical model for face representation and recognition[C]//Proceedings of the 10th

- IEEE International Conference on Computer Vision. Beijing, China, 2005, 1: 786–791.
- [15] 杜海顺, 张旭东, 金勇, 等. 基于 Gabor 低秩恢复稀疏表示分类的人脸图像识别方法[J]. *电子学报*, 2014, 42(12): 2386–2393.
DU Haishun, ZHANG Xudong, JIN Yong, et al. Face image recognition method via Gabor low-rank recovery sparse representation-based classification[J]. *Acta electronica sinica*, 2014, 42(12): 2386–2393.
- [16] FIELD D J. Relations between the statistics of natural images and the response properties of cortical cells[J]. *Journal of the optical society of America A*, 1987, 4(12): 2379–2394.
- [17] 刘元, 吴小俊. 基于 Log-Gabor 滤波与黎曼流形学习的图像识别算法[J]. 模式识别与人工智能, 2015, 28(10): 946–952.
LIU Yuan, WU Xiaojun. Image recognition algorithm based on Log-Gabor wavelet and Riemannian manifold Learning[J]. *Pattern recognition and artificial intelligence*, 2015, 28(10): 946–952.
- [18] CHEN XI, ZHANG Jiashu. Illumination robust single sample face recognition using multi-directional orthogonal gradient phase faces[J]. *Neurocomputing*, 2011, 74(14/15): 2291–2298.
- [19] 杨恢先, 蔡勇勇, 翟云龙, 等. 基于正交梯度二值模式的单样本人脸识别[J]. 计算机应用, 2014, 34(2): 546–549.
YANG Huixian, CAI Yongyong, ZHAI Yunlong, et al. Single sample face recognition based on orthogonal gradient binary pattern[J]. *Journal of computer applications*, 2014, 34(2): 546–549.
- [20] 杨恢先, 翟云龙, 蔡勇勇, 等. 基于中心对称梯度幅值相位模式的单样本人脸识别[J]. 光电子·激光, 2015, 26(5): 969–977.
YANG Huixian, ZHAI Yunlong, CAI Yongyong, et al. Face recognition based on center-symmetric gradient magnitude and phase patterns[J]. *Journal of optoelectronics·laser*, 2015, 26(5): 969–977.

作者简介:



杨恢先, 男, 1963 年生, 教授, 硕士生导师, 主要研究方向为图像处理、嵌入式系统。曾获湖南省科技进步奖三等奖 1 项, 湖南省教育厅教学成果奖 2 项。获得国家发明专利 5 项, 出版教材 2 部。



付宇, 男, 1993 年生, 硕士研究生, 主要研究方向为图像处理和模式识别。



曾金芳, 女, 1978 年生, 讲师, 博士, 主要研究方向为智能信息处理和频谱校正。参与国家自然科学基金面上项目、湖南省自然科学基金等项目多项。